

Calcul d'une "carte de transfert" réaliste pour particules chargées

Thomas PUGNAT ^{1 2}

Barbara DALENA ¹ Ionel CIUPERCA ²

¹CEA au DSM/Irfu/SACM/LEDA



²Polytech Lyon 1



Stage réalisé pendant la période:
18 Mars 2015 - 18 Septembre 2015

Plan de la présentation

- 1 Introduction
- 2 Théorie
- 3 Optimisation du code et des données
- 4 Effet induit par le dernier design du quadripôle
- 5 Résultats
- 6 Préparation à l'implémentation dans SixTrack

Sommaire

- 1 Introduction**
 - Le CEA et le LHC
 - Le projet HiLumi-LHC et le stage
- 2 Théorie
- 3 Optimisation du code et des données
- 4 Effet induit par le dernier design du quadripôle
- 5 Résultats
- 6 Préparation à l'implémentation dans SixTrack

Le CEA et le LHC

Le CEA

*Commissariat à l'Energie Atomique et aux
Energies Alternatives*

Création : 11 Juillet 1945

Moyens à disposition :

- Budget : ~ 4.4 milliard d'euros
- 10 centres de recherche dont 5 civils
- 16 110 techniciens, ingénieurs, chercheurs, ...
- des projets d'études et accords avec des universités et centres de recherche Français et dans le monde entier (dont le LHC)

Domaine de recherche :

l'énergie nucléaire, la physique nucléaire, la chimie, la biologie, la médecine et les énergies alternatives

Le LHC

Large Hadron Collider

Création : 1994 - 2008 (CERN, Suisse)

Le plus grand accélérateur au monde :

- 27 km de circonférence à ~ 100 m de profondeur
- 1232 Dipôles + 600 autres aimants
- 600 millions de collision / s à 7-13 TeV

Objectif :

découvrir le boson de Higgs et donner sa masse, confirmer le modèle standard, découvrir de nouvelles physiques, ...

Le projet HiLumi-LHC

Augmenter la luminosité du LHC (Nb. de collisions/s)



Réduire la taille du faisceau aux points d'interaction (IP)

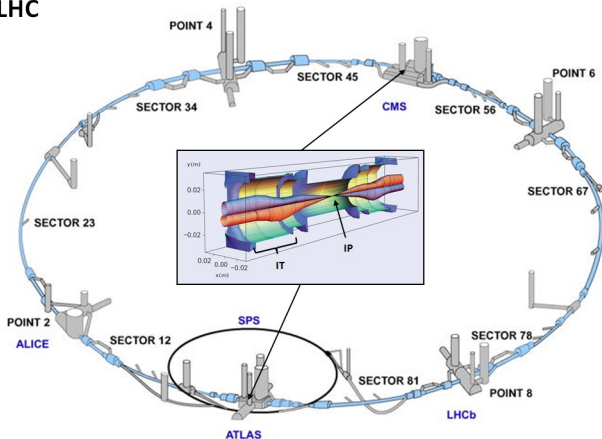


Augmentation de la taille faisceau dans le Triplet final
Augmentation de l'angle de croisement à l'IP



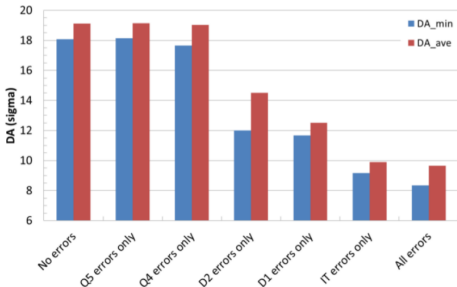
+ grande ouverture des aimants

LHC



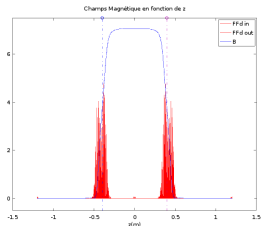
Le stage

DA at collision energy for HLLHCv1.0 lattice with IR field errors:
 IT_errortable_v66_4, D1_errortable_v1_spec, D2_errortable_v5_spec (b2=0),
 Q4_errortable_v1_spec, Q5_errortable_v0_spec



A. V. Bogomyagkov et al. WEPEA049 @ IPAC'13 :

A travers des calculs analytiques, il a  t  montr  que, bien que faible, le champ de fuite ne devait pas  tre n glig .



Objectif du stage :

- Tester et optimiser un nouveau code prenant en compte la d pendance en z du champ
- Interfacer le code du CEA au programme SixTrack du CERN

⇒ Quantifier les effets du champ de fuite sur la dynamique du faisceau   long terme

But final :

- D finir la *qualit  du champ et les corrections*
- Fournir un retour aux concepteurs des aimants

Sommaire

- 1 Introduction
- 2 Théorie**
 - Notation physique et outils mathématiques
 - Groupe Symplectique et système Hamiltonien
 - Création d'un schéma numérique symplectique
- 3 Optimisation du code et des données
- 4 Effet induit par le dernier design du quadripôle
- 5 Résultats
- 6 Préparation à l'implémentation dans SixTrack

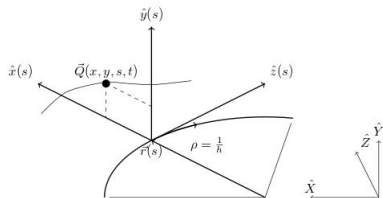
Notation physique et outils mathématiques

Objectif :

Décrire le mouvement d'une particule chargée dans les éléments des accélérateurs !

$$\mathbf{E} = -\nabla V - \frac{\partial \mathbf{A}}{\partial t}$$

$$\mathbf{B} = \nabla \times \mathbf{A}$$



Équation différentielle :

$$\frac{\partial^2 x}{\partial t^2} = \frac{q}{m_p} E_x + \frac{q}{m_p} \left(\frac{\partial s}{\partial t} B_y - \frac{\partial y}{\partial t} B_s \right)$$

$$\frac{\partial^2 y}{\partial t^2} = \frac{q}{m_p} E_y + \frac{q}{m_p} \left(\frac{\partial x}{\partial t} B_s - \frac{\partial s}{\partial t} B_x \right)$$

$$\frac{\partial^2 s}{\partial t^2} = \frac{q}{m_p} E_s + \frac{q}{m_p} \left(\frac{\partial y}{\partial t} B_x - \frac{\partial x}{\partial t} B_y \right)$$

⇒ Réduction du temps de calcul

⇒ Garantir la conservation de l'espace des phases

Outil
Mathématique

⇒

Algèbre de Lie

Groupe Symplectique et système Hamiltonien

• Algèbre de Lie

$$\begin{aligned} Q \times Q &\longrightarrow Q \\ (x, y) &\longmapsto [x, y] \end{aligned}$$

Crochet de poisson :

$$\{A, B\} = \sum_{i=1}^n \left(\frac{\partial A}{\partial q_i} \frac{\partial B}{\partial p_i} - \frac{\partial A}{\partial p_i} \frac{\partial B}{\partial q_i} \right)$$

Prop. : $\forall \alpha, \beta \in \mathbb{R}$ et $\forall x, y, z \in Q$,

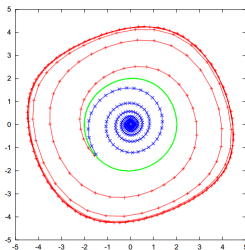
<i>Structure Algébrique</i>	<i>Anti-symétrie</i>	<i>Identité de Jacobi</i>
$[\alpha x, \beta(y+z)] = \alpha\beta[x, y] + \alpha\beta[x, z]$	$[x, y] = -[y, x]$	$[x, [y, z]] + [y, [z, x]] + [z, [x, y]] = 0$

• Transformation symplectique

Définition :

Une transformation différentiable $g : U \longrightarrow \mathbb{R}^{2d}$ est dite *symplectique* si la matrice Jacobienne $g'(q, p)$ est symplectique sur tout U , i.e. :

$$g'(q, p)^T S g'(q, p) = S$$



Explicit Euler (gains energy)

Implicit Euler (loses energy)

Exact phase diagram solution (ideal harmonic oscillator)

Création d'un schéma numérique symplectique

● Système Hamiltonien

$$\frac{dq_i}{dt} = \frac{\partial H}{\partial p_i} = \{q_i, H\} \quad \frac{dp_i}{dt} = -\frac{\partial H}{\partial q_i} = \{p_i, H\}$$

Hamiltonien 8D pour un quadripôle ($a(x, y, z) = q \frac{A(x, y, z)}{P_0 c}$) :

$$H[x, p_x, y, p_y, s, \delta, z, p_z; \sigma] \Rightarrow K[x, p_x, y, p_y, s, \delta, z, p_z; \sigma]$$

$$= -\sqrt{(1+\delta)^2 - (p_x - a_x)^2 - (p_y - a_y)^2} + p_z - a_z \Rightarrow = p_z \underbrace{-a_z}_{(1)} - \delta + \frac{(p_x - a_x)^2}{2(1+\delta)} + \frac{(p_y - a_y)^2}{2(1+\delta)}$$

● Transformation de Lie (1) $\Rightarrow Mg = e^{(-\frac{\Delta\sigma}{2} a_z)} g = g + \left\{ -\frac{\Delta\sigma}{2} a_z, g \right\} + O(2)$

● "Map" de Lie

$$x^i \xrightarrow{M} x^f = x^i$$

$$y^i \xrightarrow{M} y^f = y^i$$

$$l^i \xrightarrow{M} l^f = l^i$$

$$z^i \xrightarrow{M} z^f = z^i$$

$$p_x^i \xrightarrow{M} p_x^f = p_x^i - \frac{\Delta\sigma}{2} \frac{\partial a_z}{\partial x}$$

$$p_y^i \xrightarrow{M} p_y^f = p_y^i - \frac{\Delta\sigma}{2} \frac{\partial a_z}{\partial y}$$

$$\delta^i \xrightarrow{M} \delta^f = \delta^i$$

$$p_z^i \xrightarrow{M} p_z^f = p_z^i - \frac{\Delta\sigma}{2} \frac{\partial a_z}{\partial z}$$

Sommaire

- 1 Introduction
- 2 Théorie
- 3 Optimisation du code et des données**
 - Contexte et optimisation du code
 - Variation de la taille du pas en z
- 4 Effet induit par le dernier design du quadripôle
- 5 Résultats
- 6 Préparation à l'implémentation dans SixTrack

Contexte et optimisation du code

Contexte :

Le code développé au CEA sera utilisé par le code SixTrack du CERN. Le code doit être :

- Facile à intégrer.

SixTrack → créé en 1988 et en Fortran 77

- Rapide.

Appelé pour chaque quadripôle étudié (entrée et sortie) et à chaque tour de l'accélérateur.

Nb de tours : 1 000 - 100 000

Techniquement, la pas de mesure en z du champ magnétique est supérieur à quelques cm.

Contexte et optimisation du code

Contexte :

Le code développé au CEA sera utilisé par le code SixTrack du CERN. Le code doit être :

- Facile à intégrer.

SixTrack → créé en 1988 et en Fortran 77

- Rapide.

Appelé pour chaque quadripôle étudié (entrée et sortie) et à chaque tour de l'accélérateur.

Nb de tours : 1 000 - 100 000

Techniquement, la pas de mesure en z du champ magnétique est supérieur à quelques cm.

Contexte et optimisation du code

Contexte :

Le code développé au CEA sera utilisé par le code SixTrack du CERN. Le code doit être :

- Facile à intégrer.

SixTrack → créé en 1988 et en Fortran 77

- Rapide.

Appelé pour chaque quadripôle étudié (entrée et sortie) et à chaque tour de l'accélérateur.

Nb de tours : 1 000 - 100 000

Techniquement, la pas de mesure en z du champ magnétique est supérieur à quelques cm.

Optimisation du code :

- Potentiel Vecteur stocké sous forme polynomial ($A_x \propto \sum_{i,j} x^i y^j C_{Ax}(z)$)
- Calcul séquentiel
- Vitesse \propto Nb. de point en z

		j	
		0	...
i	C_{Ax}	0	...
		0	...
		⋮	⋮



i	j	C_{Ax}
1	0	2.6548E+2
3	2	3.4452E+4
⋮	⋮	⋮

Contexte et optimisation du code

Contexte :

Le code développé au CEA sera utilisé par le code SixTrack du CERN. Le code doit être :

- Facile à intégrer.

SixTrack → créé en 1988 et en Fortran 77

- Rapide.

Appelé pour chaque quadripôle étudié (entrée et sortie) et à chaque tour de l'accélérateur.

Nb de tours : 1 000 - 100 000

Techniquement, la pas de mesure en z du champ magnétique est supérieur à quelques cm.

Optimisation du code :

- Potentiel Vecteur stocké sous forme polynomial ($A_x \propto \sum_{i,j} x^i y^j C_{Ax}(z)$)
- Calcul séquentiel
- Vitesse \propto Nb. de point en z

	j	
	0	...
i	C_{Ax}	0

	⋮	⋮



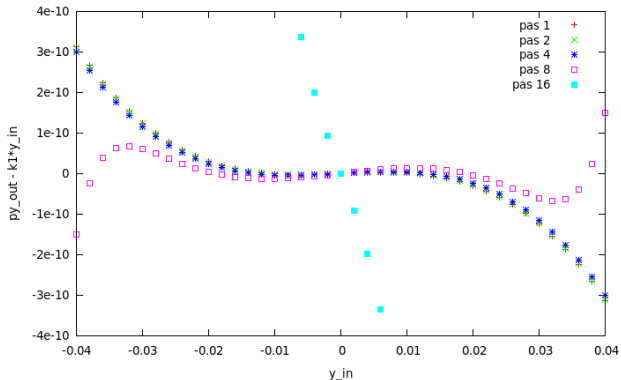
i	j	C_{Ax}
1	0	2.6548E+2
3	2	3.4452E+4
⋮	⋮	⋮

⇒ Vitesse $\times 2$

Variation de la taille du pas en z

Mesure distante

Impulsion p_y finale en fonction de la position y initiale



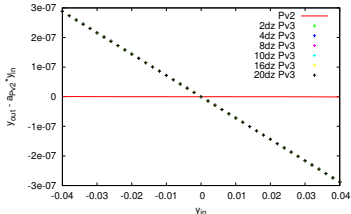
Très rapidement, des perturbations sur la partie non-linéaire apparaît.
($dz < 24$ mm)

Évolution de p_y en sortie du quadripôle (sans la partie linéaire de référence) pour différentes positions en y en entrée avec des pas en z de 3 (Ref. +), 6, 12, 24 et 48 mm.

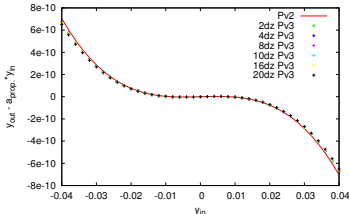
Variation de la taille du pas en z

Mesure continue (interpolation Simpson des coefficients de A)

Evolution de y_{out} sans Comp. Lin. de Pv2 (S NoDrift)

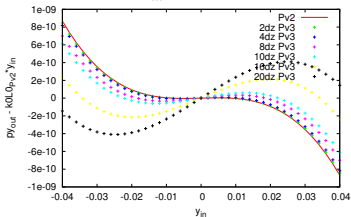


Evolution de y_{out} sans Comp. Lin. propre (S NoDrift)

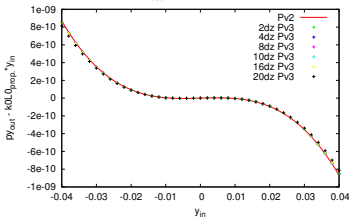


Des perturbations sur la partie non-linéaire de y apparaissent très faiblement. ($dz < 60$ mm)

Evolution de $p_{y,out}$ sans Comp. Lin. de Pv2 (S NoDrift)



Evolution de $p_{y,out}$ sans Comp. Lin. propre (S NoDrift)



On a une modification de la partie linéaire de y et p_y . (Peut être corrigée)

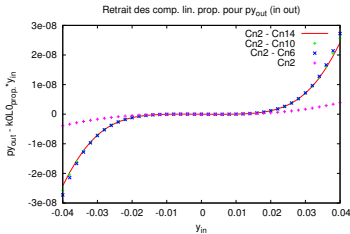
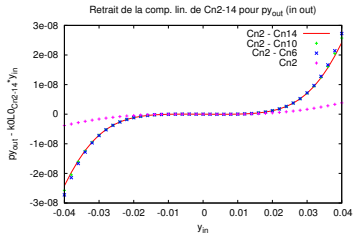
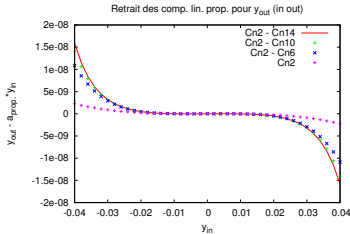
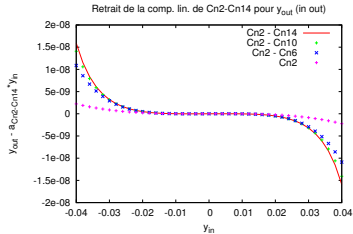
Évolution de y (en haut) et de p_y (en bas) sortant en fonction de y entrant en moyennant avec une interpolation Simpson pour différentes tailles de pas (3mm pour Pv2 (Ref.), puis 6, 12, 24, 30, 48 et 60mm pour Pv3.

Sommaire

- 1 Introduction
- 2 Théorie
- 3 Optimisation du code et des données
- 4 Effet induit par le dernier design du quadripôle**
 - Cas non-symétrique
 - Cas Symétrique
- 5 Résultats
- 6 Préparation à l'implémentation dans SixTrack

Cas non-sym trique

Entr e : sans connecteur, Sortie : avec connecteur

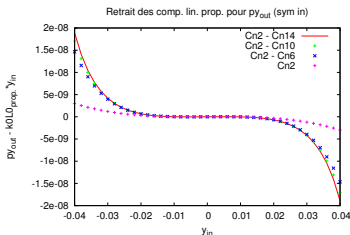
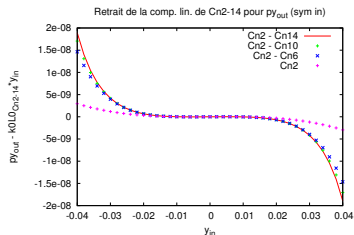
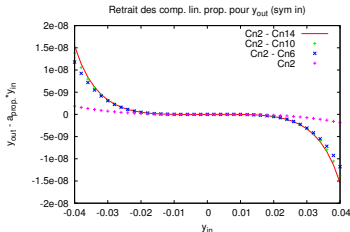
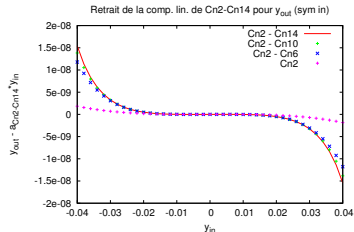


- Harmonique b_2 : la composante lin aire du quadrip le + l eg ere d eviation ("Octupole Like")
- Harmonique b_6 : la majorit e de la partie non-lin aire du quadrip le
- Perturbations non-lin aire en y et en p_y diff erentes

 volution de y (en haut) et de p_y (en bas) sortant en fonction de y entrant pour diff erentes harmoniques avec un champ magn etique non-sym trique en z .

Cas sym trique

Entr e : sans connecteur, Sortie : sans connecteur

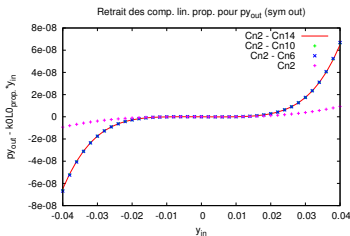
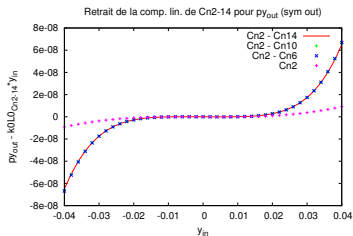
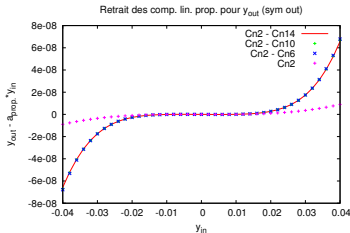
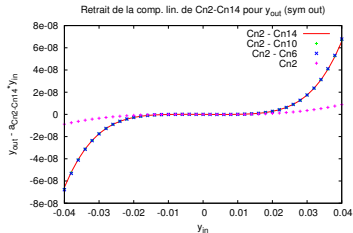


- Perturbations non-lin aire en y et en p_y ont la m me forme
- Perturbations pour y : identiques au cas non-sym trique avec la m me amplitude
- Perturbations pour p_y : diff rentes du cas non-sym trique

 volution de y (en haut) et de p_y (en bas) sortant en fonction de y entrant pour diff rentes harmoniques avec un champ magn tique sym trique en z (partie sans connecteur).

Cas sym trique

Entr e : avec connecteur, Sortie : avec connecteur



- Perturbations non-lin aire en y et en p_y ont la m me forme
- Perturbations pour y : diff rentes du cas non-sym trique
- Perturbations pour p_y : identiques au cas non-sym trique mais avec une amplitude plus grande

 volution de y (en haut) et de p_y (en bas) sortant en fonction de y entrant pour diff rentes harmoniques avec un champ magn tique sym trique en z (partie avec connecteur).

Sommaire

- 1 Introduction
- 2 Théorie
- 3 Optimisation du code et des données
- 4 Effet induit par le dernier design du quadripôle
- 5 Résultats**
- 6 Préparation à l'implémentation dans SixTrack

Résultats

- Harmonique b_2 \mapsto la composante linéaire du quadripôle + légère déviation ("Octupole Like")
- Harmonique b_6 \mapsto la majorité de la partie non-linéaire du quadripôle
- Les harmoniques d'ordres supérieures \mapsto correction sur les perturbations non-linéaires
- Non-symétrie du champ magnétique \mapsto compensation des effets du Champ de fuite
- Moyenner des mesures sur des intervalles contigus \mapsto pas de perte d'information sur la partie non-linéaire pour des pas jusqu'à 60mm
 \Rightarrow Diminution du nombre de pas \Rightarrow Augmentation de la vitesse de calcul
- Méthode développée par le CEA, aussi puissante qu'un Runge Kutta symplectique d'ordre 4 mais plus rapide

Résultats

- Harmonique b_2 \mapsto la composante linéaire du quadripôle + légère déviation ("Octupole Like")
- Harmonique b_6 \mapsto la majorité de la partie non-linéaire du quadripôle
- Les harmoniques d'ordres supérieures \mapsto correction sur les perturbations non-linéaires
- **Non-symétrie du champ magnétique \mapsto compensation des effets du Champ de fuite**
- Moyenner des mesures sur des intervalles contigus \mapsto pas de perte d'information sur la partie non-linéaire pour des pas jusqu'à 60mm
 \Rightarrow Diminution du nombre de pas \Rightarrow Augmentation de la vitesse de calcul
- Méthode développée par le CEA, aussi puissante qu'un Runge Kutta symplectique d'ordre 4 mais plus rapide

Résultats

- Harmonique b_2 \mapsto la composante linéaire du quadripôle + légère déviation ("Octupole Like")
- Harmonique b_6 \mapsto la majorité de la partie non-linéaire du quadripôle
- Les harmoniques d'ordres supérieures \mapsto correction sur les perturbations non-linéaires
- Non-symétrie du champ magnétique \mapsto compensation des effets du Champ de fuite
- **Moyenner des mesures sur des intervalles contigus \mapsto pas de perte d'information sur la partie non-linéaire pour des pas jusqu'à 60mm**
 \Rightarrow Diminution du nombre de pas \Rightarrow Augmentation de la vitesse de calcul
- Méthode développée par le CEA, aussi puissante qu'un Runge Kutta symplectique d'ordre 4 mais plus rapide

Résultats

- Harmonique b_2 \mapsto la composante linéaire du quadripôle + légère déviation ("Octupole Like")
- Harmonique b_6 \mapsto la majorité de la partie non-linéaire du quadripôle
- Les harmoniques d'ordres supérieures \mapsto correction sur les perturbations non-linéaires
- Non-symétrie du champ magnétique \mapsto compensation des effets du Champ de fuite
- Moyenner des mesures sur des intervalles contigus \mapsto pas de perte d'information sur la partie non-linéaire pour des pas jusqu'à 60mm
 \Rightarrow Diminution du nombre de pas \Rightarrow Augmentation de la vitesse de calcul
- Méthode développée par le CEA, aussi puissante qu'un Runge Kutta symplectique d'ordre 4 mais plus rapide

Sommaire

- 1 Introduction
- 2 Théorie
- 3 Optimisation du code et des données
- 4 Effet induit par le dernier design du quadripôle
- 5 Résultats
- 6 Préparation à l'implémentation dans SixTrack**
 - Contexte
 - Recherche des paramètres

Contexte

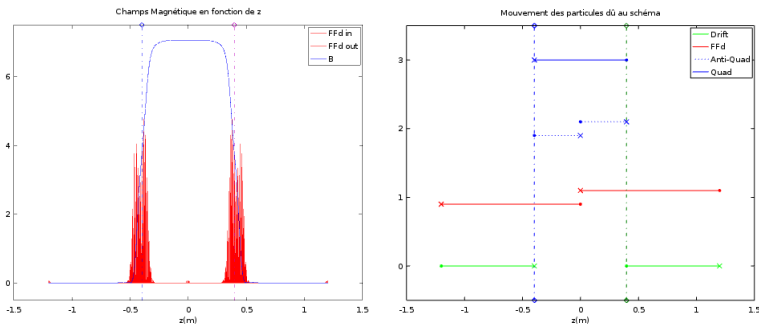
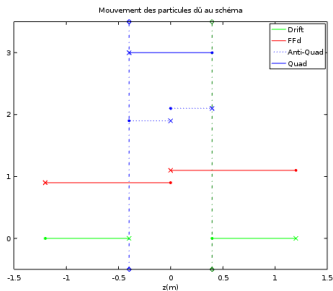


FIGURE: Tracé du champ magnétique B et du champ de fuite FFd le long d'un quadripôle test théorique (à gauche) et représentation des positions initiales (x) et finales (●) pour les différentes parties du schéma d'intégration (à droite). Le calcul du quad est effectué par SixTrack.

Recherche des paramètres

Matrice utilisée pour le quadripôle équivalent

$$\begin{pmatrix} x \\ p_x \end{pmatrix}_f = \begin{bmatrix} 1 & -\frac{C}{2} \\ 0 & 1 \end{bmatrix} \begin{bmatrix} 1 \pm KOL_Q(L_Q + C) & L_Q + C \\ \pm KOL_Q & 1 \end{bmatrix} \begin{bmatrix} 1 & -\frac{C}{2} \\ 0 & 1 \end{bmatrix} \begin{pmatrix} x \\ p_x \end{pmatrix}_i$$



Méthode de Newton en cherchant le minimum de la fonction :

$$F(K, C) = \left(\frac{\frac{(KOL0_{calc.}(K, C) - KOL0_{obj.})^2}{KOL0_{obj.}^2}}{\frac{(o_{y, calc.}(K, C) - o_{y, obj.})^2}{o_{y, obj.}^2}} \right)$$

($KOL0$: pente de $p_{y, out} = f(y_{in})$; o_y : pente de $y_{out} = f(y_{in})$)

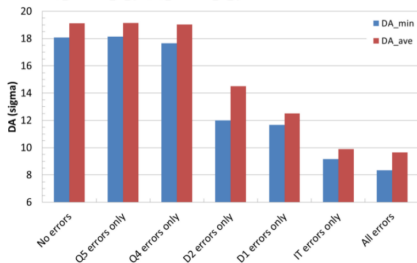
On converge aussi sur K afin de supprimer la totalité de la partie linéaire sur p_y

Conclusion

Perspectives :

- Amélioration de la recherche des paramètres des anti-quad dans 2 plans ((x, p_x) et (y, p_y))
- Quantification de l'effet du champ de fuite sur la dynamique du faisceau à long terme (DA) en utilisant notre modèle.

DA at collision energy for HLHCv1.0 lattice with IR field errors:
IT_errortable_v66_4, D1_errortable_v1_spec, D2_errortable_v5_spec (b2=0),
Q4_errortable_v1_spec, Q5_errortable_v0_spec



Merci de votre attention !

Remerciement

Je souhaiterai remercier :

- le CEA pour ce paisible environnement de travail, ses opportunités et sa rapidité pour faire un double de clef.
- toutes les équipes du SACM pour m'avoir accueilli et les parties de Mölkky endiablées.
- Jacques PAYET pour tous ses conseils avisés.
- Barbara DALENA pour ce stage des plus agréables et instructifs.
- Abele SIMONA pour avoir été un joyeux collègue plein de ressource.



Bibliographie



Fringe Fields Modeling for the High Luminosity LHC Large Aperture quadripôle,

B. Dalena et al.,

IPAC'14 Proceedings, TUPRO002, [pdf](#)



LIE ALGEBRAIC TREATMENT OF LINEAR AND NONLINEAR BEAM DYNAMICS,

Alex J. Dragt et al.,

Ann. Rev. Nucl. Part. Sci., 1988.38 : 455-69.



Explicit symplectic integrator for s-dependent static magnetic field,

Y. K. Wu, E. Forest and D. S. Robin,

PHYSICAL REVIEW E 68, 046502, 13 October 2003



SixTrack Physics Manual,

R. De. Maria and M. Fjellstrom,

24 Mars 2015, [pdf](#)



Lie Methods for Nonlinear Dynamics with Applications to Accelerator Physics,

Alex J. Dragt,

University of Maryland, College Park, [pdf](#)



Master Professionnel IMO1 2ième année : Cours Grands Systèmes Linéaires,

Pierre Puiseux,

Université de Pau et des Pays de l'Adour, [pdf](#)



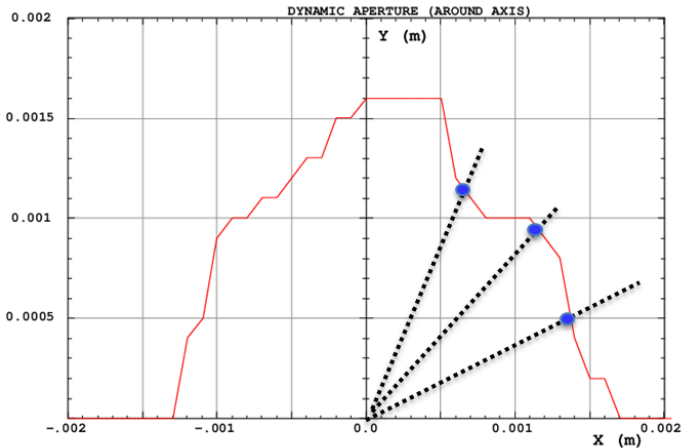
Calcul du potentiel vecteur d'une carte de champ magnétique pour des études de dynamique à long terme,

Oleg Gabouev, Jacques Payet, Barbara Dalena,

Université de Reims, Champagne-Ardennes

Ouverture Dynamique du LHC

Zone du plan (x, y) pour laquelle une particule est considérée comme stable dans l'accélérateur.



Exemple du "Hard Edge"

● "Vector Potential"

$$A_x(x, y, z) = 0, \quad A_y(x, y, z) = 0 \quad \text{et} \quad A_z(x, y, z) = -\frac{K_0}{2} (x^2 - y^2) \quad \text{avec} \quad a(x, y, z) = q \frac{A(x, y, z)}{P_0 c}$$

● Hamiltonien

$$K[x, p_x, y, p_y, l, \delta, z, p_z; \sigma] \approx p_z + \frac{k_1}{2} (x^2 - y^2) - \delta + \frac{P_x^2}{2(1+\delta)} + \frac{P_y^2}{2(1+\delta)}$$

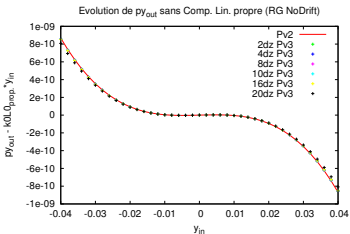
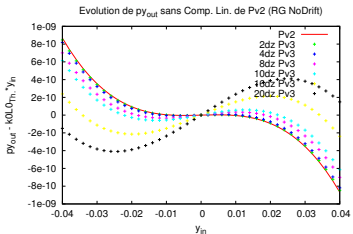
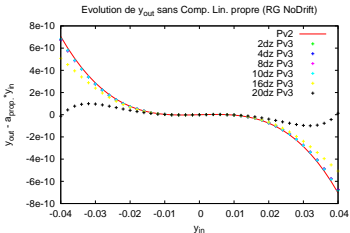
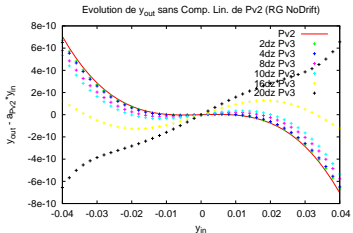
● Schéma numérique sur $\mathbf{q} = (x, y, l, z)$ et $\mathbf{p} = (p_x, p_y, \delta, p_z)$

$$\begin{aligned} \mathbf{q}^{i+1/7} &= \mathbf{q}^i + \begin{pmatrix} 0, & 0, & -\frac{\Delta\sigma}{2}, & \frac{\Delta\sigma}{2} \\ 0, & 0, & 0, & 0 \end{pmatrix} \\ \mathbf{q}^{i+2/7} &= \mathbf{q}^{i+1/7} + \begin{pmatrix} 0, & 0, & 0, & 0 \\ \frac{\Delta\sigma}{2} \frac{p_x^{i+1/7}}{(1+\delta)}, & 0, & -\frac{\Delta\sigma}{2} \frac{(p_x^{i+1/7})^2}{2(1+\delta)^2}, & 0 \end{pmatrix} \\ \mathbf{q}^{i+3/7} &= \mathbf{q}^{i+2/7} + \begin{pmatrix} \frac{\Delta\sigma}{2} \frac{p_x^{i+1/7}}{(1+\delta)}, & 0, & -\frac{\Delta\sigma}{2} \frac{(p_x^{i+1/7})^2}{2(1+\delta)^2}, & 0 \\ 0, & \Delta\sigma \frac{p_y^{i+3/7}}{(1+\delta)}, & -\Delta\sigma \frac{(p_x^{i+3/7})^2}{2(1+\delta)^2}, & 0 \end{pmatrix} \\ \mathbf{q}^{i+4/7} &= \mathbf{q}^{i+3/7} + \begin{pmatrix} 0, & \Delta\sigma \frac{p_y^{i+3/7}}{(1+\delta)}, & -\Delta\sigma \frac{(p_x^{i+3/7})^2}{2(1+\delta)^2}, & 0 \\ \frac{\Delta\sigma}{2} \frac{p_x^{i+4/7}}{(1+\delta)}, & 0, & -\frac{\Delta\sigma}{2} \frac{(p_x^{i+4/7})^2}{2(1+\delta)^2}, & 0 \end{pmatrix} \\ \mathbf{q}^{i+5/7} &= \mathbf{q}^{i+4/7} + \begin{pmatrix} \frac{\Delta\sigma}{2} \frac{p_x^{i+4/7}}{(1+\delta)}, & 0, & -\frac{\Delta\sigma}{2} \frac{(p_x^{i+4/7})^2}{2(1+\delta)^2}, & 0 \\ 0, & 0, & 0, & 0 \end{pmatrix} \\ \mathbf{q}^{i+6/7} &= \mathbf{q}^{i+5/7} + \begin{pmatrix} 0, & 0, & 0, & 0 \\ 0, & 0, & -\frac{\Delta\sigma}{2}, & \frac{\Delta\sigma}{2} \end{pmatrix} \\ \mathbf{q}^{i+1} &= \mathbf{q}^{i+6/7} + \begin{pmatrix} 0, & 0, & -\frac{\Delta\sigma}{2}, & \frac{\Delta\sigma}{2} \end{pmatrix} \end{aligned}$$

$$\begin{aligned} \mathbf{p}^{i+1/7} &= \mathbf{p}^i + \begin{pmatrix} 0, & 0, & 0, & 0 \\ 0, & 0, & 0, & 0 \end{pmatrix} \\ \mathbf{p}^{i+2/7} &= \mathbf{p}^{i+1/7} + \begin{pmatrix} 0, & 0, & 0, & 0 \\ -\frac{\Delta\sigma}{2} k_1 x^{i+1/7}, & \frac{\Delta\sigma}{2} k_1 y^{i+1/7}, & 0, & 0 \end{pmatrix} \\ \mathbf{p}^{i+3/7} &= \mathbf{p}^{i+2/7} + \begin{pmatrix} 0, & 0, & 0, & 0 \\ 0, & 0, & 0, & 0 \end{pmatrix} \\ \mathbf{p}^{i+4/7} &= \mathbf{p}^{i+3/7} + \begin{pmatrix} 0, & 0, & 0, & 0 \\ 0, & 0, & 0, & 0 \end{pmatrix} \\ \mathbf{p}^{i+5/7} &= \mathbf{p}^{i+4/7} + \begin{pmatrix} 0, & 0, & 0, & 0 \\ 0, & 0, & 0, & 0 \end{pmatrix} \\ \mathbf{p}^{i+6/7} &= \mathbf{p}^{i+5/7} + \begin{pmatrix} -\frac{\Delta\sigma}{2} k_1 x^{i+5/7}, & \frac{\Delta\sigma}{2} k_1 y^{i+5/7}, & 0, & 0 \\ 0, & 0, & 0, & 0 \end{pmatrix} \\ \mathbf{p}^{i+1} &= \mathbf{p}^{i+6/7} + \begin{pmatrix} 0, & 0, & 0, & 0 \end{pmatrix} \end{aligned}$$

Variation de la taille du pas en z

Mesure continue (interpolation Rectangle Gauche des coefficients de A)



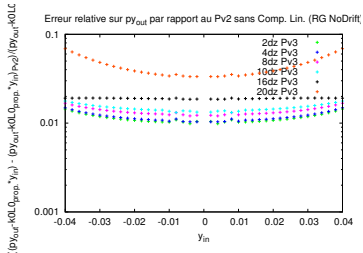
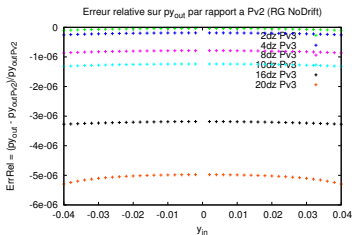
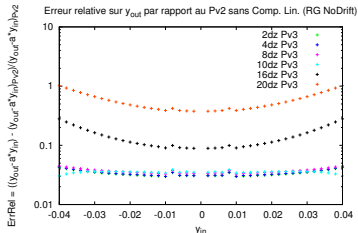
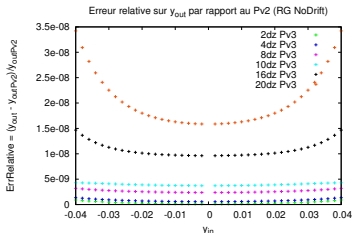
Des perturbations sur la partie non-lin aire de y apparaissent. ($dz < 48$ mm)

On a une modification de la partie lin aire de y et p_y . (Peut  tre corrig e)

 volution de y (en haut) et de p_y (en bas) sortant en fonction de y entrant en moyennant avec une interpolation Rectangle gauche pour diff rentes tailles de pas (3mm pour Pv2 (Ref.), puis 6, 12, 24, 30, 48 et 60mm pour Pv3).

Variation de la taille du pas en z : les erreurs relatives

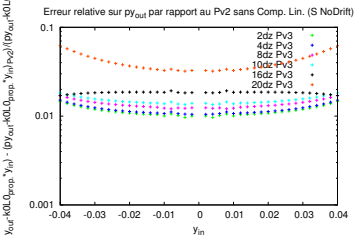
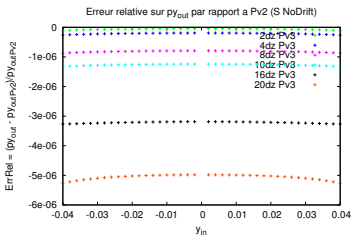
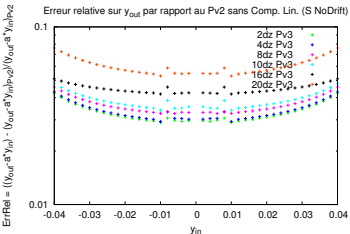
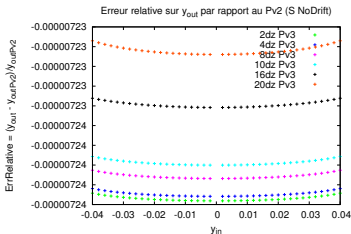
Mesure continue (interpolation Rectangle Gauche des coefficients de A)



Évolution de l'erreur relative sur y (en haut) et p_y (en bas) sortant en fonction de y entrant (Ref. 3mm pour Pv2) en moyennant avec une interpolation Rectangle Gauche pour différentes tailles de pas (6, 12, 24, 30, 48 et 60mm pour Pv3).

Variation de la taille du pas en z : les erreurs relatives

Mesure continue (interpolation Simpson des coefficients de A)



Évolution de l'erreur relative sur y (en haut) et p_y (en bas) sortant en fonction de y entrant (Ref. 3mm pour Pv2) en moyennant avec une interpolation Simpson pour différentes tailles de pas (6, 12, 24, 30, 48 et 60mm pour Pv3).

Drift, Kick et quadripôle

- Drift :

$$\begin{pmatrix} x \\ p_x \end{pmatrix}_f = \begin{bmatrix} 1 & L_D \\ 0 & 1 \end{bmatrix} \begin{pmatrix} x \\ p_x \end{pmatrix}_i$$

- Kick :

$$\begin{pmatrix} x \\ p_x \end{pmatrix}_f = \begin{bmatrix} 1 & 0 \\ -K_0 * L_Q & 1 \end{bmatrix} \begin{pmatrix} x \\ p_x \end{pmatrix}_i$$

- Quadripôle "Thin" :

$$\begin{pmatrix} x \\ p_x \end{pmatrix}_f = \begin{bmatrix} 1 & L_Q \\ -K_0 * L_Q & 1 \end{bmatrix} \begin{pmatrix} x \\ p_x \end{pmatrix}_i$$

- Quadripôle "Thick" :

$$\begin{pmatrix} x \\ p_x \end{pmatrix}_f = \begin{bmatrix} \cos(L_Q \sqrt{K_0}) & \frac{1}{\sqrt{K_0}} \sin(L_Q \sqrt{K_0}) \\ -\sqrt{K_0} \sin(L_Q \sqrt{K_0}) & \cos(L_Q \sqrt{K_0}) \end{bmatrix} \begin{pmatrix} x \\ p_x \end{pmatrix}_i$$